

УДК 004.056.5

И.И. Бобок,  
А.А. Кобозева, д.т.н., профессор,  
Е.В. Малахов, д.т.н., профессор,  
А.Д. Шовкун

## МЕТОД ОРГАНИЗАЦИИ СКРЫТОГО КАНАЛА СВЯЗИ, ОБЕСПЕЧИВАЮЩИЙ ПРОВЕРКУ ЦЕЛОСТНОСТИ КОНТЕЙНЕРА

*Разработан стеганографический метод, позволяющий одновременно решать задачи скрытой передачи информации и проверки целостности контейнера. Приведены результаты вычислительного эксперимента.*

**Ключевые слова:** стеганографический алгоритм, контейнер, стеганосообщение, аутентификация.

*Розроблено стеганографічний метод, що дозволяє одночасно вирішувати задачі прихованої передачі інформації й перевірки цілісності контейнера. Наведено результати обчислювального експерименту.*

**Ключові слова:** стеганографічний алгоритм, контейнер, стеганоповідомлення, аутентифікація.

*Steganographic method for the solving of two problems - secure communication and authentication of the cover- is worked out. The results of computer experiments are stated.*

**Keywords:** steganographic algorithm, cover, stego message, authentication.

В настоящее время общество вступает в такой период своего развития, который по праву можно назвать информационным. Информация становится одним из основных и самых дорогих товаров [1]. В силу этого большое внимание должно уделяться ее защите, в частности, реализации положений законодательства Украины об авторском праве.

Благодаря современным методам стеганографии [2–6] было сформировано одно из перспективных направлений защиты информации, которое позволяет в рамках традиционно существующих информационных потоков или информационной среды решать некоторые важные задачи информационной безопасности ряда прикладных областей [6–9].

Стеганографирование осуществляется различными способами [1, 4, 6]. Общей чертой этих способов является то, что скрываемое сообщение или дополнительная информация (ДИ), встраивается в некоторый не привлекающий внимание объект или контейнер. Процесс погружения ДИ в контейнер, или основное сообщение (ОС), будем называть стеганообразованием (СП), а результат СП – стеганосообщением (СС). Полученное СС затем пересылается адресату по открытому каналу связи или хранится в таком виде [6, 7].

В настоящее время активизировались исследования как в области “классической” стеганографии (проблемы, связанные с организацией секретного канала

внутри открытого канала связи), так и в области так называемых цифровых водяных знаков (ЦВЗ) – специальных “меток”, внедряемых в изображение или другой сигнал с целью тем или иным образом контролировать его использование [7].

Технология ЦВЗ выступает в качестве эффективного решения проблемы защиты авторского права, позволяя идентифицировать источник, автора, владельца, дистрибьютора или уполномоченного потребителя цифровых изображений (ЦИ), видео- или звукозаписей, используется в основном для решения задачи аутентификации, доказательства целостности контента (в качестве ЦВЗ здесь часто выступают случайно сформированные бинарные последовательности). При внедрении ЦВЗ в информационный контент не всегда выдвигается требование обеспечения надежности восприятия получаемого СС [10]. При определенных условиях внедренный знак может (или должен) быть замечен. Это замечание существенно отличает методы, которые могут использоваться при решении задачи аутентификации, целостности, от методов решения другой стеганографической задачи – скрытой передачи данных. Однако если задача обеспечения надежности восприятия при внедрении ЦВЗ все-таки ставится, то принципиального противоречия для одновременного решения двух основных задач стеганографии – аутентификации и организации скрытой передачи информации – не возникает.

Проблема создания стеганографических методов для одновременного решения двух упомянутых выше задач уже рассматривалась в открытой печати, например, в [11, 12], однако предлагаемые здесь разработки имеют ряд существенных недостатков. Так алгоритм в [11] принципиально не может, если руководствоваться указанными в работе формулами для СП, обеспечить надежность восприятия СС для произвольного ЦИ-контейнера, хотя такая цель преследуется авторами, если используемый при СП коэффициент квантования  $q$  будет больше единицы (что предполагается авторами). Также требует уточнений и обязательной корректировки, предложенный в [11] алгоритм декодирования ДИ.

В работе [12] индийскими учеными разработан стеганографический алгоритм для аутентификации и скрытой передачи данных, основанный на дискретном преобразовании Фурье. Но предложенный подход позволяет проводить аутентификацию только изображений в градациях серого, хранящихся в форматах TIFF и PNG, а секретное сообщение ограничено в размере, что сужает область применения алгоритма.

*Целью* исследования является разработка нового стеганографического метода, одновременно обеспечивающего аутентификацию сигнала-контейнера с соблюдением надежности восприятия СС и скрытую передачу произвольной информационной последовательности, устойчивого к возмущающим воздействиям, что позволит увеличить эффективность защиты секретной информации, передаваемой по открытому каналу связи.

Для достижения поставленной цели в работе решаются *задачи*:

- 1) разработки способа формирования ДИ таким образом, чтобы непосредственно погружаемое в ОС сообщение несло в себе наряду с передаваемой секретной информацией информацию для решения задачи аутентификации контейнера;
- 2) выбора размера секретного ключа, используемого для формирования ДИ, непосредственно погружаемой в ОС;
- 3) анализа работы и адаптации разработанного стеганографического метода путем обеспечения устойчивости соответствующих алгоритмов к возмущающим

воздействиям для возможности декодирования передаваемой ДИ в случае нарушения целостности сигнала, происходящего в результате применения атак (в частности, атаки сжатием).

Заметим, что моделирование неидеального канала связи в силу специфики рассматриваемой задачи имеет смысл проводить при помощи *малых* возмущающих воздействий [13], поскольку в результате любых атакующих воздействий на СС должна сохраняться его надежность восприятия, иначе действия противника будут без труда обнаружены сторонами, организующими секретный канал связи.

В качестве контейнера для простоты изложения в данной части работы используется монохромное ЦИ,  $N \times N$  – матрицу которого обозначим  $I$ .

Далее будем различать ДИ и секретное сообщение (СРС): под СРС будем понимать информационное сообщение, передаваемое адресату, до процесса предварительного кодирования (рис. 2); под ДИ, как и ранее, понимается сообщение, которое непосредственно погружается в контейнер. ДИ формируется на основании СРС при помощи секретного ключа (рис. 2). В качестве СРС далее рассматривается случайно сформированная бинарная матрица соответствующего размера.

Пусть  $K$  – бинарная  $L \times L$ -матрица ключа, используемого в процессе предварительного кодирования,  $L$  – линейный размер квадратного блока матрицы изображения-контейнера, в который встраивается 1 бит ДИ;  $W_b$  –  $[N/L] \times [N/L]$  – матрица СРС,  $\bar{W}_b$  –  $N \times N$ -матрица ДИ,  $I'$  –  $N \times N$ -матрица СС.

Использование ключа при формировании ДИ из СРС обеспечит решение задачи 1 в перечне задач, приведенном выше.

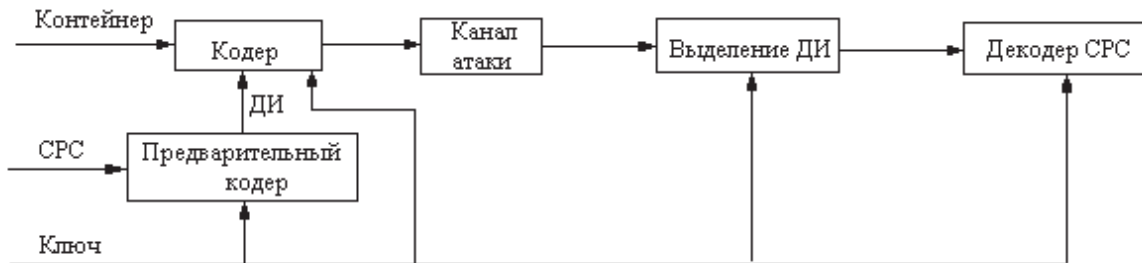


Рис. 2. Основные элементы используемой стеганосистемы

Работа прекодера (рис. 2) осуществляется в соответствии с формулой:

$$\bar{W}_b(n, m) = W_b \left( \left[ \frac{n-1}{L} \right] + 1, \left[ \frac{m-1}{L} \right] + 1 \right) \oplus K(i, j), \quad n, m = 1, 2, \dots, N,$$

$$\text{где } i = \begin{cases} L, & \text{если } \left\{ \frac{n}{L} \right\} = 0, \\ \left\{ \frac{n}{L} \right\}, & \text{иначе} \end{cases}, \quad j = \begin{cases} L, & \text{если } \left\{ \frac{m}{L} \right\} = 0, \\ \left\{ \frac{m}{L} \right\}, & \text{иначе} \end{cases},$$

$[.]$  – операция округления до меньшего целого,  $\{.\}$  – 0 остаток от деления,  $\oplus$  – операция логического исключающего ИЛИ.

Процесс СП происходит следующим образом:

$$I'(n,m) = \begin{cases} \left[ \frac{I(n,m)}{q} \right] q, & \text{если } \overline{W}_b(n,m) = 0, \\ \left[ \frac{I(n,m)}{q} \right] q + \frac{q}{2}, & \text{если } \overline{W}_b(n,m) = 1, \end{cases} \quad n,m = 1,2,\dots,N \quad (1)$$

где  $q$  – четное число. Для достижения поставленной цели и решения задачи 3 в перечне задач приведенном выше, выбор коэффициента  $q$  должен удовлетворять двум условиям: обеспечивать надежность восприятия СС и устойчивость разрабатываемого стеганометода (и соответствующих стеганоалгоритмов) к малым возмущающим  $q$  воздействиям. Для гарантированного обеспечения первого (второго) условия  $q$  должно иметь как можно меньшее (большее) значение, хотя надежность восприятия СС, как показывает вычислительный эксперимент, для большого числа тестируемых ЦИ обеспечивалась при предложенном способе СП (1) и для значительных  $q$  ( $q > 20$ ). Окончательный выбор рекомендуемых компромиссных значений для параметра  $q$  делается на основании представительного вычислительного эксперимента, результаты которого приведены ниже.

Процесс декодирования СРС выполняются следующим образом.

Обозначим  $\overline{W}_b^i$  – ДИ, полученную из СС,  $W_b^i$  – СРС, полученное из ДИ. Выделение ДИ производится в соответствии с формулой:

$$\overline{W}_b^i(n,m) = \begin{cases} 0, & \text{если } \left\{ \frac{I'(n,m)}{q} \right\} = 0 \\ 1, & \text{если } \left\{ \frac{I'(n,m)}{q} \right\} = \frac{q}{2} \\ \text{не определено} & \end{cases} \quad n,m = 1,2,\dots,N \quad (2)$$

Предположим, что декодирование согласно (2) завершилось определением всех бит ДИ. Это возможно в двух случаях: целостность ОС в ходе пересылки СС нарушена не была; целостность была нарушена активным (злоумышленным) нарушителем таким образом, что значения яркости всех пикселей в СС были оставлены либо кратными  $q$ , либо при делении на  $q$  давали остаток  $\frac{q}{2}$ , но при этом порядок расположения пикселей с такими свойствами в СС нарушителем был изменен.

Для проверки аутентичности ОС и выделения из ДИ СРС необходимо произвести следующие действия. Для декодирования элемента матрицы СРС

$W_b^i(i, j)$ , где  $i, j = 1, \dots, \left[ \frac{N}{L} \right]$ , выделяется соответствующий  $L \times L$ -блок матрицы  $\overline{W}_b^i$

ДИ, обозначаемый далее  $B$ , элементы которого определяются в соответствии с формулой:

$$B(m, l) = \overline{W}_b'((i-1) \cdot L + m, (j-1) \cdot L + l), \quad m, l = 1, \dots, L. \quad (3)$$

Декодирование бита СРС производится следующим образом:

$$W_b'(i, j) = \begin{cases} 1, & \text{если } B = \overline{K}, \\ 0, & \text{если } B = K, \\ \text{иначе не определен} \end{cases} \quad i, j = 1, \dots, \left[ \frac{N}{L} \right],$$

где  $\overline{K}$  – матрица, полученная из матрицы ключа  $K$  путем инвертирования.

Если при декодировании СРС все биты однозначно определены, то целостность контейнера нарушена не была. Неопределенность хотя бы одного бита  $W_b'(i, j)$  говорит о нарушении целостности, причем это нарушение, практически достоверно, проведено активным (злонамеренным) нарушителем. Продолжение декодирования СРС в этом случае не имеет смысла.

Если при декодировании ДИ в соответствии с формулой (2) какой-либо бит не определится, то уже на этом этапе очевидно нарушение целостности. В силу того, что нарушение целостности могло произойти вследствие возмущающих воздействий, которые не являются действиями активного (злонамеренного) нарушителя, декодирование ДИ можно продолжить в соответствии с формулой:

$$\overline{W}_b'(n, m) = \begin{cases} 0, & \text{если } \left\{ \frac{I'(n, m)}{q} \right\} < q/2 \text{ AND } (a < b) \text{ OR } \left\{ \frac{I'(n, m)}{q} \right\} > q/2 \text{ AND } (c < b) \\ 1, & \text{если } \left\{ \frac{I'(n, m)}{q} \right\} < q/2 \text{ AND } (a \geq b) \text{ OR } \left\{ \frac{I'(n, m)}{q} \right\} > q/2 \text{ AND } (c \geq b) \end{cases} \quad n, m = 1, 2, \dots, N$$

$$\text{где } a = \left\{ \frac{I'(n, m)}{q} \right\}, \quad b = \left| \left\{ \frac{I'(n, m)}{q} \right\} - q/2 \right|, \quad c = \left| \left\{ \frac{I'(n, m)}{q} \right\} - q \right|.$$

Если целостность была (непреднамеренно) нарушена, получение СРС выполняется следующим образом:

$$W_b'(i, j) = \begin{cases} 1, & \text{если } \sum_{m,l=1}^L |B(m, l) - \overline{K}(m, l)| < \sum_{m,l=1}^L |B(m, l) - K(m, l)|, \\ 0, & \text{если } \sum_{m,l=1}^L |B(m, l) - \overline{K}(m, l)| > \sum_{m,l=1}^L |B(m, l) - K(m, l)|, \\ \text{иначе не определен} \end{cases} \quad i, j = 1, \dots, \left[ \frac{N}{L} \right],$$

где  $B$  определяется для элемента  $W_b'(i, j), i, j = 1, \dots, \left\lceil \frac{N}{L} \right\rceil$  в соответствии с формулой (3).

**Замечание 1.** Эффективность защиты передаваемой информации в предложенном методе можно повысить. Выбор последовательности блоков ОС, в которые будет происходить погружение последовательных бит ДИ, можно производить в соответствии с дополнительным секретным ключом (рис. 2). В качестве такого ключа можно использовать, например, случайную перестановку натуральных чисел от 1 до  $\left\lceil \frac{N}{L} \right\rceil \times \left\lceil \frac{N}{L} \right\rceil$ , где  $\left\lceil \frac{N}{L} \right\rceil \times \left\lceil \frac{N}{L} \right\rceil$  – это общее количество получаемых алгоритмом при СП блоков матрицы контейнера, в результате чего скрытая пропускная способность [7] организованного канала связи никак не пострадает.

#### **Результаты вычислительного эксперимента**

Для организации вычислительного эксперимента необходимо определить линейный размер  $L$  квадратной матрицы секретного ключа  $K$ . Сложность выбора заключается в том, что, с одной стороны, чем больше  $L$ , тем выше защищенность передаваемой секретной информации; с другой стороны, чем больше  $L$ , тем меньше скрытая пропускная способность организуемого канала связи, поскольку  $L \times L$ -блок матрицы ОС используется для передачи одного бита ДИ. Разумный компромисс, как показывает практика, достигается при  $L=8$ .

Вычислительный эксперимент, в котором участвовало 200 ЦИ размером  $800 \times 800$  пикселей, хранимых в различных форматах (с потерями, без потерь), проводился в среде Matlab. СРС представлялось бинарной  $100 \times 100$ -матрицей, в качестве ключа использовалась случайно сформированная бинарная  $8 \times 8$ -матрица  $K$ . В этой части эксперимента СС сохранялось в формате без потерь для исключения дополнительных возмущающих воздействий.

Надежность восприятия формируемого СС, оцениваемая путем субъективного ранжирования, обеспечивалась всегда при  $q = 2, 4, 6, 8$ ; для  $q = 10, 12$  обеспечивалась для подавляющего большинства протестированных ЦИ.

Эффективность декодирования СРС при тестировании работы предложенного стеганографического алгоритма определялась величиной объема восстановленной информации (ОВИ), который вычислялся в соответствии с формулой:

$$\frac{\left\lceil \frac{N}{L} \right\rceil^2 - \sum_{i,j=1}^{\left\lceil \frac{N}{L} \right\rceil} W_b(i, j) \oplus W_b'(i, j)}{\left\lceil \frac{N}{L} \right\rceil^2} \cdot 100\%$$

В условиях отсутствия возмущающих воздействий на СС его аутентичность была подтверждена в 100 % тестируемых СС. ОВИ в этих условиях составил 100 %.

В условиях действий активного (злонамеренного) нарушителя, когда декодирование согласно (2) завершалось определением всех бит ДИ, фиксация нарушения аутентичности происходила в 100 % рассмотренных ЦИ.

Для дальнейшей проверки эффективности декодирования в условиях действий активного нарушителя искусственно создавалась ситуация нарушения целостности СС: оно подвергалось возмущающему воздействию, которое моделировалось путем наложения на СС гауссовского шума с нулевым математическим ожиданием и различными значениями дисперсии  $d$  (такой способ моделирования активных атакующих действий, направленных на СС, является одним из традиционных [14]), а также мультипликативного шума, для чего в среде Matlab была использована процедура `imnoise`. Результаты экспериментов приведены в таблицах 1, 2 соответственно. Фиксация нарушения аутентичности происходила в 100 % тестируемых СС.

В результате проведенного эксперимента было установлено, что в качестве компромиссных значений параметра  $q$  для удовлетворения требований обеспечения устойчивости разработанного алгоритма к возмущающим воздействиям наряду с надежностью восприятия формируемого им СС могут быть использованы  $q = 8, 10, 12$  (табл. 1, 2).

Таблица 1

**Объем восстановленной информации из возмущенного  
путем наложения гауссовского шума стеганосообщения**

	Среднее значение ОВИ для 200 тестируемых СС при различных значениях дисперсии $d$ (%)					Сохранение надежности восприятия СС
	$d = 0.0005$	$d = 0.0001$	$d = 0.00005$	$d = 0.00001$	$d = 0.000001$	
$q = 4$	47,5	47,7	53,7	99,8	99,7	+
$q = 6$	48,9	60,7	95,2	99,8	99,8	+
$q = 8$	48,9	92,0	99,7	99,8	99,8	+
$q = 10$	50,0	98,7	99,8	99,9	99,8	±
$q = 12$	53,6	98,7	99,9	99,9	99,9	±
$q = 14$	63,7	99,1	99,9	99,9	99,9	±
$q = 30$	99,2	99,5	99,9	99,9	99,9	-
$q = 50$	99,3	99,5	99,9	100,0	100,0	-

Таблица 2

**Объем восстановленной информации из возмущенного  
путем наложения мультипликативного шума стеганосообщения**

	Среднее значение ОВИ для 200 тестируемых СС при различных значениях дисперсии $d$ (%)					Сохранение надежности восприятия СС
	$d = 0.005$	$d = 0.0005$	$d = 0.0001$	$d = 0.000001$	$d = 0.0000001$	
$q = 4$	42,8	52,9	60,2	63,4	99,8	+
$q = 6$	51,9	58,6	85,7	85,7	99,8	+
$q = 8$	54,2	56,5	91,7	97,4	99,7	+
$q = 10$	53,0	66,5	98,7	99,8	99,8	±
$q = 12$	55,5	77,8	99,8	99,8	99,9	±
$q = 14$	55,2	87,4	99,6	99,2	99,9	±
$q = 30$	77,1	99,9	99,3	99,6	99,6	-
$q = 50$	91,7	99,3	99,6	99,4	99,5	-

**Замечание 2.** В силу высокой эффективности декодирования алгоритма в условиях возмущающих воздействий для больших значений  $q$  (табл. 1, 2) при СП можно использовать  $q > 10$  с последующим наложением шума на СС для маскировки возможных нарушений надежности восприятия.

Для повышения устойчивости предложенного стеганографического метода к возмущающим воздействиям в качестве контейнера использовались цветные RGB-изображения [15]. Погружение одной и той же ДИ происходило в каждую (R, G и B) матрицу ОС. При этом для декодирования очередного бита СРС это значение выделялось трижды (из каждой составляющей R, G, B СС). Из полученной бинарной триады выбиралось в качестве итогового значения то, которое встречалось чаще. Результаты, сравнение которых с аналогичными результатами для монохромных ЦИ-контейнеров (табл. 1), приведенные в таблице 3, подтверждают повышение устойчивости разработанного метода к возмущающим воздействиям.

Таблица 3

**Объем восстановленной информации из возмущенного путем наложения гауссовского шума стеганосообщения, сформированного на основе RGB-контейнера**

	Среднее значение ОВИ для 200 тестируемых СС при различных значениях дисперсии $d$ (%)					Сохранение надежности восприятия СС
	$d = 0.0005$	$d = 0.0001$	$d = 0.00005$	$d = 0.00001$	$d = 0.000001$	
$q = 4$	63,9	71,4	53,7	86,6	99,6	+
$q = 6$	67,1	76,4	95,2	99,3	99,9	+
$q = 8$	69,6	89,0	99,7	99,5	99,5	+
$q = 10$	68,3	99,7	99,8	98,7	99,8	±
$q = 12$	66,8	100,0	99,9	99,5	100,0	±
$q = 14$	76,5	98,6	99,9	100,0	98,9	±
$q = 30$	99,8	99,8	99,9	98,5	99,8	-
$q = 50$	98,5	98,4	99,9	99,3	98,6	-

Использование RGB-контейнеров также позволяет практически в три раза повысить пропускную способность организуемого при помощи предложенного стеганографического метода канала скрытой связи [7]: погружение ДИ происходит последовательно в каждую из матриц R, G и B ОС (при этом выбор порядка матриц R, G, B может быть частью секретного ключа).

Следующим этапом вычислительного эксперимента был анализ эффективности разработанного метода по отношению к атаке сжатием, являющейся в настоящий момент одной из наиболее часто используемых в стеганографии [4, 7]. Эксперимент был построен следующим образом. Использовался наиболее устойчивый к возмущающим воздействиям вариант разработанного метода: в каждую из матриц RGB-контейнера погружалась одна и та же ДИ, после чего СС сохранялось в формате без потерь (например, TIFF). Далее в среде Photoshop полученное СС пересохранялось в формате JPEG, с различными коэффициентами качества  $Q$ , после чего происходило декодирование СРС так, как описано выше. Результаты эксперимента приведены в таблице 4. Отметим, что хотя в таблице 4 для полноты эксперимента приведены результаты для  $Q=4.6$ , такие атаки на СС не рассматриваются как возможные на практике, поскольку не сохраняют



надежность восприятия СС [16]. С учетом этого, полученные результаты приводят к таким выводам: для  $q \geq 16$  разработанный стеганоалгоритм является устойчивым к атаке сжатием ( $Q \geq 8$ ), причем при  $q=16$  в подавляющем большинстве тестируемых ЦИ надежность восприятия за счет наличия сжатия была обеспечена.

Таблица 4

Объем восстановленной информации из стеганосообщения, сформированного в формате JPEG

	Среднее значение ОВИ для 200 тестируемых СС, сохраненных в JPEG с различными коэффициентами качества $Q$ (%)				
	$Q = 12$	$Q = 10$	$Q = 8$	$Q = 6$	$Q = 4$
$q = 4$	98,87	64,53	61,32	61,81	61,50
$q = 6$	100,00	63,11	46,60	48,69	47,10
$q = 8$	100,00	80,73	60,35	56,97	54,30
$q = 10$	100,00	88,75	62,34	56,23	49,01
$q = 16$	100,00	99,61	84,60	75,45	60,04
$q = 30$	100,00	100,00	100,00	93,01	82,49
$q = 50$	99,42	99,39	99,04	99,04	93,42
$q = 60$	100,00	100,00	100,00	98,88	97,03
$q = 70$	100,00	100,00	100,00	99,47	98,77

### Выводы

В процессе работы был разработан новый стеганографический метод, позволяющий одновременно решать задачи скрытой передачи произвольной информационной последовательности и аутентификации контейнера, допускающий использование в качестве основного сообщения цифрового изображения, хранимого в произвольном формате.

При отсутствии возмущающих воздействий подтверждение аутентичности контейнера является достоверным событием. При наличии атакующих действий, направленных на стеганосообщение, нарушение аутентичности было зафиксировано в 100 % тестируемых информационных контентов.

Выбор параметра  $q$ , используемого при СП, позволяет:

- гарантировано обеспечить надежность восприятия стеганосообщения, определяемую путем субъективного ранжирования, при  $q=2,4,6,8$ ;
- обеспечить ОВИ более 90 % при  $q > 6$  в условиях возмущающих воздействий (нарушения целостности), что говорит об устойчивости разработанного стеганографического метода, в том числе и к атаке сжатием.

Внедрение ДИ в ОС при помощи (1) приводит к тому, что значения яркости каждого пикселя СС будет либо кратно  $q$ , либо при делении на  $q$  давать остаток

$\frac{q}{2}$ . При  $q > 2$  такая особенность будет зафиксирована практически достоверно любым пассивным нарушителем [7] даже без использования стеганоаналитических средств. В силу этого, можно порекомендовать воспользоваться предложением, высказанным в замечании 2, т.е. наложить на полученное СС шум. Однако если организованный канал скрытой передачи данных подвергается стеганоаналитическим проверкам, то наложение шума не спасает от его выявления

методом, предложенным в [17, 18]: 95 %–98 % СС детектировались как ЦИ, претерпевшие СП. Таким образом, устойчивость разработанного стеганографического метода к стеганоанализу остается пока нерешенной проблемой, над которой продолжают работать авторы.

### СПИСОК ИСПОЛЬЗОВАННЫХ ИСТОЧНИКОВ

1. *Хорошко В.А.* Методы и средства защиты информации / В.А. Хорошко, А.А. Чекатков. – К. : Юниор, 2003. – 501 с.
2. *Корольов В.Ю.* Планування досліджень методів стеганографії та стеганоаналізу / В.Ю. Корольов, В.В. Полинський, В.А. Герасименко, М.Л. Горінштейн // Вісник Хмельницького національного університету. – 2011. – № 4. – С. 187–196.
3. *Корольов В.Ю.* Стеганография по методу наименее значимого бита на базе персонализированных флеш-накопителей / В.Ю. Корольов, В.В. Полинский, В.А. Герасименко // Управляющие системы и машины. – 2011. – № 1 (231). – С. 79–87.
4. *Аграновский А.В.* Стеганография, цифровые водяные знаки и стеганоанализ / А.В. Аграновский, А.В. Балакин, В.Г. Грибунин, С.А. Сапожников. – М. : Вузовская книга, 2009. – 220 с.
5. *Advanced Statistical Steganalysis* / R. Bohme, Springer, 2010.
6. *Кобозева А.А.* Аналіз захищеності інформаційних систем / А.А. Кобозева, І.О. Мачалін, В.О. Хорошко. – К. : Вид. ДУІКТ, 2010. – 316 с.
7. *Грибунин В.Г.* Цифровая стеганография / В.Г. Грибунин, И.Н. Оков, И.В. Туринцев. – М. : Солон-Пресс, 2002. – 272 с.
8. *Конахович Г.Ф.* Компьютерная стеганография. Теория и практика / Г.Ф. Конахович, А.Ю. Пузыренко. – К. : МК-Пресс, 2006.
9. *Карпинец В.В.* Решение проблемы уменьшения уровня искажений векторных изображений вследствие встраивания цифровых водяных знаков / В.В. Карпинец, Ю.Е. Яремчук // Информатика и математические методы в моделировании. – 2011. – Т. 1. – № 2. – С. 131–140.
10. *Кобозева А.А.* Учет свойств нормального спектрального разложения матрицы контейнера при обеспечении надежности восприятия стегосообщения / А.А. Кобозева, Е.А. Трифонова // Вестник НТУ “ХПИ”. – 2007. – № 18. – С. 81–93.
11. *Глумов Н.И.* Алгоритм встраивания полухрупких цифровых водяных знаков для задач аутентификации изображений и скрытой передачи информации / Н.И. Глумов, В.А. Митекин // Компьютерная оптика. – 2011. – № 2. – Т. 35. – С. 262–267.
12. *Bhattacharyya D.* Authentication and Secret Message Transmission / D. Bhattacharyya, J. Dutta, P. Das, S.K. Bandyopadhyay, T. Kim // Int. J. Communications, Network and System Sciences. – 2009. – № 5. – P. 363–370.
13. *Кобозева А.А.* Новий підхід до проблеми стеганоаналізу / А.А. Кобозева // Інформатика та математичні методи в моделюванні. – 2011. – Т. 1. – № 2. – С. 183–189.
14. *Gkizeli M.* Optimal Signature Design for Spread-Spectrum Steganography / M. Gkizeli, D.A. Pados, M.J. Medley. – IEEE Trans. On Image Processing, vol.16, no.2, Feb. 2007.
15. *Гонсалес Р.* Цифровая обработка изображений / Р. Гонсалес, Р. Вудс ; пер. с англ. ; под ред. П.А. Чочиа. – М. : Техносфера, 2005. – 1072 с.
16. *Кобозева А.А.* Анализ особенностей сингулярных чисел матриц цифровых изображений при разных степенях сжатия для выявления фотомонтажа / А.А. Кобозева, В.В. Зорило // Захист інформації. – 2010. – № 3. – С. 34–41.
17. *Бобок И.И.* Стеганоаналитический метод для цифрового сигнала-контейнера, хранящегося в формате с потерями / И.И. Бобок // Сучасний захист інформації. – 2011. – № 2. – С. 50–60.
18. *Бобок И.И.* Детектирование наличия возмущений матрицы цифрового изображения как составная часть стеганоанализа / И.И. Бобок // Вісник Східноукр. нац. ун-ту ім. В. Даля. – 2011. – № 7 (161). – С. 32–41.

Отримано 20.04.2012